ENVIRONMENTAL SCIENCE

第44卷 第5期 2023年5月15日

目 次

```
COVID-19 管控前后不同污染阶段 PM<sub>2.5</sub>中二次无机离子变化特征 ·········· 姜楠,郝雪新,郝祺,魏云飞,张瑜,吕政卿,张瑞芹(2430)
基于在线观测的太原市冬季 PM<sub>2.5</sub>中金属元素污染水平及来源解析 ……… 崔阳,郭利利,李宏艳,李永麒,李滨,何秋生,王新明(2441)
青藏高原东缘黑碳气溶胶变化特征及其来源 ························王红磊,刘思晗,赵天良,卢文,夏俊荣,施双双(2450)
湛江市夏季大气挥发性有机物污染特征及来源解析 ……… 庞晓蝶,高博,陈来国,刘明,陆海涛,王硕,赵伟,梁小明,郭送军(2461)
2021 年夏季新乡市城区臭氧超标日污染特征及敏感性 ······· 侯墨, 蒋小梅, 赵文鹏, 马琳, 黄皓旻, 范丽雅, 叶代启 (2472)
天津市空气污染的健康影响分析 ………………… 华琨, 罗忠伟, 贾斌, 薛倩倩, 李亚菲, 肖致美, 吴建会, 张裕芬, 冯银厂 (2492)
2002~2020年中国河流环境质量演变及驱动因子分析 …… 杨传玺,薛岩,高畅,万孜恒,王小宁,刘永林,刘琳,刘长青,王炜亮(2502)
1990~2020 年黄河流域典型生态区生态环境质量时空格局及驱动力分析 …………… 王芳,李文慧,林妍敏,南雄雄,胡志瑞(2518)
长江上游小型水库枯水期水质对景观组成、配置和水库特征的响应 …… 钟泳林、冉娇娇、文雯、张名瑶、吕明权、吴胜军(2528)
宁夏人黄排水沟中典型内分泌干扰物的污染特征与风险评价 ……………… 李凌云,高礼,郑兰香,李富娟,陶红,马兰(2539)
微塑料及金属在黄浦江地表水环境的赋存特征及与金属抗性基因的相关性分析……………    陆嘉玮,徐晨烨,胡纯,刘树仁,李方(2551)
饮用水处埋过程中全氟化合物的分布、转化及去同 钟婷婷,林涛,刘威(2613)镍铁氧体@活性炭复合材料去除六价铬的表征、性能及机制 张华,李荣华,陈金雄,曾鸿鹄,黄海艺,Asfandyar Shahab(2622)纳米核壳 Co@ NC 催化剂活化过氧乙酸降解磺胺甲噻唑 郑婷露,张龙龙,陈家斌,张亚雷,周雪飞(2635)富里酸改性 FeMnNi-LDH 复合材料对水中砷镉的吸附性能与机制 何雅馨,柯心怡,魏世强,蒋珍茂(2646)富含钙/铝的污泥生物炭复合材料对水溶液中磷酸盐的吸附机制 欧阳铸,曹露,王炳乾,丁丽,黄海明,祝采莹,邝晓彤(2661)污泥生物炭硼掺杂改性及其对水中1,2-二氯乙烷吸附行为和机制 周佳伟,施维林,许伟,魏晨军,吴建生,孟宪荣(2671) 清林生态系统对大气氮沉降降低的响应 谢丹妮,仰东星,段雷(2681)
黄土旱塬 24 a 不同秸秆还田土壤碳、氮、磷和胞外酶计量特征 ············ 姚志霞,周怀平,解文艳,杨振兴,陈浩宁,文永莉,程曼 (2746) 黄土高原子午岭植被自然恢复下的固碳特征 ······ 许小明,张晓萍,王浩嘉,贺洁,王妙倩,易海杰,薛帆,邹亚东,田起隆,何亮 (2756)
短期氮添加对黄土高原人工刺槐林土壤有机碳组分的影响 … 简俊楠,刘伟超,朱玉帆,李佳欣,温宇豪,刘付和,任成杰,韩新辉(2767)
基于乡镇尺度的地质高背景区耕地土壤重金属来源分析与风险评价 .....
广东海丰湿地生态恢复进程中不同生境的土壤微生物特征分析 ············· 马姣娇,高常军,易小青,吴琰,李佳鸿,曾向武,蔡坚(2908)
五台山不同退化程度亚高山草甸土壤微生物群落分类与功能多样性特征 ·············
长期生草栽培对山核桃人工林土壤真菌群落和酶活性的影响 …………… 胡颖槟、梁辰飞、金锦、王潇璇、叶子豪、吴家森(2945)
高密度聚乙烯微塑料胁迫对棉花生长、枯萎病发生和根际细菌群落的影响 ··· 张浩,孙洁,杨慧颖,董联政,滑紫微,韩辉,陈兆进(2955)
菌藻复合体系氮代谢性能及菌群特征 赵志瑞,吴海淼,马超,李书缘,李晴,袁凯倪,孟祥源,刘硕,方晓峰(2965)中国碳排放及影响因素的市域尺度分析 是张明显常的一块尺度分析 是张明显常的一块尺度分析 是健生,晋雪茹,王晗,冯喆,张丹妮,李雪尘(2974)碳交易政策如何影响工业碳生产率:来自中国省级数据的准自然实验 房设施 是健生,晋雪茹,王晗,冯喆,张丹妮,李雪尘(2983)
垃圾分类对碳减排的影响分析:以青岛市为例…………… 陈纪宏, 卞荣星, 张听雪, 高晨琦, 孙英杰, 李卫华, 张国栋, 占美丽 (2995)
《环境科学》征订启事(2480) 《环境科学》征稿简则(2538) 信息(2766, 2798, 2927)
```



2021 年夏季新乡市城区臭氧超标日污染特征及敏感性

侯墨¹, 蒋小梅¹, 赵文鹏², 马琳²*, 黄皓旻^{1,3,4,5}, 范丽雅^{1,3,4,5}*, 叶代启^{1,3,4,5}

(1. 华南理工大学环境与能源学院,广州 510006; 2. 河南省新乡生态环境监测中心,新乡 453000; 3. 挥发性有机物污染治理技术与装备国家工程实验室,广州 510006; 4. 广东省大气环境与污染控制重点实验室,广州 510006; 5. 广东省环境风险防控与应急处置工程技术研究中心,广州 510006)

摘要:基于 2021 年 6~8 月新乡市市委党校站点观测的挥发性有机物(VOCs)、常规空气污染物和气象参数,采用基于观测的模型(OBM)对臭氧(O_3)超标日的 O_3 敏感性和前体物的管控策略进行了研究.结果发现, O_3 超标日呈现高温、低湿和低压的气象特征.在臭氧超标日, O_3 及其前体物的浓度均有上升.臭氧超标日的 VOCs 最高浓度组分为含氧挥发性有机物(OVOCs)和烷烃,臭氧生成潜势(OFP)和·OH反应性最大的 VOCs 组分为 OVOCs.通过相对增量反应性(RIR)分析,新乡 6 月 O_3 超标日臭氧生成处于 VOCs 控制区,7 月和 8 月处于 VOCs 和氦氧化物(O_3)协同控制区,臭氧生成对烯烃和 OVOCs 最为敏感.6 月各前体物的 RIR 值在一天中会发生变化,但始终保持为 VOCs 控制区;7 月和 8 月在上午为 VOCs 控制区,中午为协同控制区,下午分别为协同控制区和 O_3 控制区.通过模拟不同前体物削减情景,结果表明削减 VOCs 始终有利于管控臭氧,而削减 O_3 对管控 O_3 作用不大,还有导致 O_3 升高的风险.

关键词: 臭氧 (O_3) ; 敏感性; 相对增量反应性(RIR); 经验动力学方法(EKMA); 减排方案中图分类号: X515 文献标识码: A 文章编号: 0250-3301(2023)05-2472-09 **DOI**: 10.13227/j. hjkx. 202205229

Ozone Pollution Characteristics and Sensitivity During the Ozone Pollution Days in Summer 2021 of Xinxiang City

 $HOU\ Mo^1\ ,\ JIANG\ Xiao\text{-}mei^1\ ,\ ZHAO\ Wen\text{-}peng^2\ ,\ MA\ Lin^{2*}\ ,\ HUANG\ Hao\text{-}min^{1,3,4,5}\ ,\ FAN\ Li\text{-}ya^{1,3,4,5*}\ ,\ YE\ Dai\text{-}qi^{1,3,4,5}$

(1. School of Environment and Energy, South China University of Technology, Guangzhou 510006, China; 2. Xinxiang Ecology and Environmental Monitoring Center of Henan, Xinxiang 453000, China; 3. National Engineering Laboratory for VOCs Pollution Control Technology and Equipment, Guangzhou 510006, China; 4. Guangdong Provincial Key Laboratory of Atmospheric Environment and Pollution Control, Guangzhou 510006, China; 5. Guangdong Provincial Engineering and Technology Research Centre for Environmental Risk Prevention and Emergency Disposal, Guangzhou 510006, China)

Abstract: This study was based on the observation of volatile organic compounds (VOCs), conventional gaseous air pollutants, and meteorological parameters observed at the Xinxiang Municipal Party School site from June to August 2021. The ozone (O_3) characteristics and sensitivity of O_3 pollution days and the control strategy of its precursors were studied using an observation-based model (OBM). It was found that the meteorological conditions were characterized by high temperature, low humidity, and low pressure in O_3 -pollution days. The concentrations of O_3 and its precursors all increased in the O_3 pollution days. Oxygenated volatile organic compounds (OVOCs) and alkanes were the highest-concentration components of VOCs on O_3 pollution days in Xinxiang, and OVOCs had the highest ozone formation potential (OFP) and hydroxyl (\cdot OH) reactivity. According to the relative incremental reactivity (RIR) analysis, during the O_3 pollution days in Xinxiang, O_3 sensitivity was in the VOCs-limited regime in June and in the transitional regime in July and August. Ozone production was more sensitive to alkenes and OVOCs. The RIR values of the precursors in June changed throughout the day, but O_3 sensitivity remained the VOCs-limited regime. In July and August, O_3 sensitivity was the VOCs-limited regime in the morning, transitional regime at noon, transitional and NO_x -limited regime, respectively in the afternoon. By simulating different precursor-reduction scenarios, the results showed that the reduction of VOCs was always beneficial to the control of O_3 , whereas the reduction of NO_x had little effect on the control of O_3 and a risk of increasing O_3 .

Key words: ozone (O₃); ozone sensitivity; relative incremental reactivity (RIR); empirical kinetic modeling approach (EKMA); emission reduction strategy

近年来,随着社会经济的不断发展,人们生活水平的不断提高,人类生产和生活活动向大气排放了大量的污染物,我国面临着细颗粒物(PM_{2.5})和臭氧(O₃)复合污染的问题.随着我国对大气污染治理力度的不断加大,PM_{2.5}污染状况得到了有效控制,但是 O₃ 污染问题逐渐凸显^[1~4].对流层中的 O₃ 是一种强氧化剂,过高浓度的 O₃ 对农作物^[5,6]和人类健康^[7,8]会造成严重影响.除此之外,对流层中的 O₃ 还是一种重要的温室气体,会导致全球变暖^[9].对流层中的 O₃ 由前体物在光照条件下发生复杂的光化学反应生成.然而,O₃ 与其前体物之间的关系是

非线性的 $^{[10,11]}$. 根据 O_3 对其前体物浓度的敏感性,将 O_3 生成分为挥发性有机物(VOC_8) 控制区、氮氧化物(NO_x) 控制区和 VOC_8 - NO_x 协同控制区. 不同的控制区所需要采取的管控策略不同,错误的减排策略可能会导致 O_3 浓度的上升.

目前对于臭氧敏感性的研究方法主要有3种, 第一种是利用与0,生成有关的特征物种比值的指

收稿日期: 2022-05-19; 修订日期: 2022-08-05

基金项目: 大气重污染成因与治理攻关项目(DQGG202133)

作者简介:侯墨(1995~),男,硕士研究生,主要研究方向为大气环

境科学与污染控制, E-mail: 463512054@qq. com * 通信作者, E-mail: 2870177490@qq. com; fanly@scut. edu. cn

示剂法,比如 VOCs/NO_x^[12], O₃/NO_z^[13] 和 H₂O₂/ HNO, [14]等; 第二种为利用源排放清单的模型方法 (emission based model, EBM)[15]; 第三种为基于观 测的模型方法(observation based model, OBM)[16]. 相比于指示剂法, EBM 和 OBM 方法包含了一系列 化学反应以研究臭氧敏感性. 对于 EBM 方法,其对 O。敏感性分析的准确性主要受限于源排放清单的 不确定性[17]. OBM 方法不受源排放清单的影响,近 年来被广泛应用于长三角、珠三角和京津等重点区 域和城市的 O, 敏感性分析. 例如 Wang 等[18] 使用 基于观测的模型模拟了长三角地区的 0, 污染特征 及其敏感性,发现在 O, 超标期间 O, 生成敏感性往 往介于 VOCs 控制区和过渡区范围之间: 韩丽等[19] 发现成都市城区 O, 超标日 O, 对人为源 VOCs 敏感 性最强,其次为天然源 VOCs 和 CO,而对 NO,为负 敏感; Liu 等[20]分析了 2018 年 8 月中国五大城市 的 O, 光化学污染, 研究结果表明上海和成都属于 VOCs 控制区,北京和武汉属于协同控制区,兰州属 于 NO_x 控制区. 此外,研究还显示 O_3 对前体物的敏 感性会随地理位置而变化,如 Mazzuca 等[13] 发现靠 近城市的地区处于 VOCs 控制或过渡区,远离城市 的地区处于 NO, 控制.

新乡市位于河南省北部,与省会城市郑州接壤, 是京津冀大气污染传输通道"2+26"城市的传播通 道城市之一,人口密集,工业发达.近年来新乡市 0, 高值主要发生在夏季,2019年和2020年夏季(6~8 月) O、超标日分别为 33 d 和 29 d, O、污染形势严 峻. 但是目前对河南省 O₃ 的研究主要集中在郑州等 城市,有关新乡 O₃ 的研究较少. 如 Wang 等^[21]报道 了郑州市 O。浓度与气温和风速呈正相关,与相对湿 度、气压和 NO_x 呈负相关,郑州市 O, 在秋季表现为 远距离传输,春夏季表现为近距离传输.李亚松[22] 报道了郑州市 3 个站点 O, 主要处于 VOCs 控制区 和协同控制区,重污染期间 0, 敏感性会向过渡控制 区转换. 总体而言,针对新乡市 0, 敏感性的研究十 分缺乏,而关于0、敏感性随时间变化特征的研究更 是较少,有关 O, 形成机制的研究十分薄弱. 因此为 深入了解新乡市 0, 污染形成机制,本文基于地面观 测数据,分析了2021年夏季新乡市 O,及其前体物 的污染特征,根据 O3 生成潜势(OFP)和·OH反应性 确定了影响 O3生成的关键 VOCs 组分,并使用 OBM 对夏季 O, 超标日的 O, 敏感性的月变化和日变化特 征进行了研究,提出了 O, 前体物减排比例,以期为 新乡市 O, 前体物减排策略的制定提供科学依据和 建议.

1 材料与方法

1.1 采样地点与方法

本研究使用的 VOCs 监测数据、常规污染物监测数据(NO_x、O₃等)和气象数据(温度、相对湿度、气压)的采样地点均为河南省新乡市市委党校站点(35.37°N,113.90°E),各项数据的时间分辨率均为1h.该站点为典型的城区站点,代表新乡市生活、科教及工业混合区.采样点距离地面约 25 m.采样时间为 2021 年 6 月 1 日至 8 月 31 日.

VOCs 组分采用 EXPEC 2000 环境空气挥发性有机物自动监测系统进行采样.该系统是一款在线气相色谱-质谱联用分析仪(Online GC-MS),主要由低温预浓缩装置、气相色谱-质谱联用仪组成.样品通过预浓缩系统富集和高温热解吸后经进样系统进入到色谱分离模块,并在其中完成样品分离;分离后的样品依次进入质谱模块进行质量分析,最后经数据处理得到定性和定量分析结果.系统共检测出29 种烷烃、11 种烯烃、17 种芳香烃、21 种含氧挥发性有机物(OVOCs)和乙炔.常规污染物的监测仪器采用河北先河环保公司的 XH2000B 气体自动监测仪,气象参数的监测仪器采用美国戴维斯公司的DAVIS Vantage Pro2 自动气象站.

1.2 臭氧生成潜势(OFP)计算

OFP 是指在理想状态下, VOCs 物种生成 O_3 的潜能. OFP 的计算如公式(1)所示:

OFP_i = MIR_i × [VOC]_i × M_i/M_{O_3} (1) 式中,[VOC]_i 为监测到的某个 VOCs 物种在大气中的体积分数,单位为×10⁻⁹; MIR_i 为某个 VOCs 物种的最大增量反应活性,单位(以[O₃]/[VOC]_i 计)为g·g⁻¹; M_i/M_{O_3} 为某个 VOCs 物种与 O₃ 相对分子质量的比值; OFP_i 为某个 VOCs 物种的 O₃ 生成潜势,单位为×10⁻⁹. 本研究综合采用 Carter 研究所报告的 MIR 系数^[23].

1.3 ·OH反应活性计算

·OH作为大气中重要的氧化剂,可与 VOCs 在大气中反应生成过氧烷基 (RO_2) ,此步骤是生成 O_3 的重要环节. 计算 VOCs 的·OH消耗速率,在一定程度上可以反映 VOCs 在大气反应中的活性. ·OH反应活性计算如公式(2)所示:

自文献[24].

1.4 基于观测的模型(OBM)

基于观测的模型由 Cardelino 等^[16]于 1995 年开发. OBM 模型是利用观测数据作为约束条件的箱式模型,可以有效模拟大气中 O_3 的生成. 本研究使用基于 CB05 化学机制的 OBM 模型模拟 O_3 、自由基和中间产物. 观测到的气象参数(温度、相对湿度和气压)、常规污染物(NO_3 , O_3 , 和 CO)和 VOCs数据被输入到该模型中进行约束.

1.5 相对增量反应性(RIR)

相对增量反应性(relative incremental reactivity, RIR)是评价前体物对 O_3 生成贡献的重要指标. RIR 值是通过对前体物浓度进行削减,通过模型模拟削减后情景的 O_3 生成速率与初始情景的 O_3 生成速率的差值计算而得. 若 RIR 值为正,则表明减少该前体物可以减少 O_3 的生成. 若 RIR 值为负,则表明减少该前体物会增加 O_3 的生成. 该前体物 RIR 值越高, O_3 对该前体物越敏感. 本研究以初始浓度的90%(削减 10%)的情景输入到模型中计算 RIR,计算方法如公式(3)所示:

RIR(X) =
$$\frac{[P_{0_3}(X) - P_{0_3}(X - \Delta X)]/P_{0_3}(X)}{\Delta S(X)/S(X)}$$
(3)

式中, X 为某种前体物, 如人为源挥发性有机物 (AVOC)、天然源挥发性有机物(BVOC)、 NO_x 和 CO; S(X) 为前体物 X 的监测混合比; $\Delta S(X)$ 为前体物 X 的变化量; $P_{O_3}(X)$ 为模型模拟得到的原始情景的 O_3 净生成速率; $P_{O_3}(X-\Delta X)$ 为模型模拟得到的改变前体物 X 后情景的 O_3 净生成速率.

 O_3 生成与消耗速率的计算在之前已有研究进行了详细的描述^[3]. O_3 的生成速率 G_{0_3} 由 $HO_2 + NO$ 和 $RO_2 + NO$ 两个反应组成, O_3 的消耗速率 D_{0_3} 由 $OH + NO_2$ 、 $O_3 + VOC$ 、 $O(^1D) + H_2O$ 、 $O_3 + OH$ 和 $O_3 + HO_2$ 这 5 个反应组成. O_3 的净生成速率 P_{0_3} 由 G_{0_3} 与 D_{0_3} 的差值所得. G_{0_3} 、 D_{0_3} 和 P_{0_3} 的计算方法如公式(4) ~ (6) 所示:

$$G_{0_3} = k_{\text{HO}_2 + \text{NO}} [\text{ HO}_2] [\text{ NO}] + \sum k_{\text{RO}_2 + \text{NO}} [\text{ RO}_2] [\text{ NO}]$$
(4)

$$D_{O_{3}} = k_{HO_{2}+O_{3}}[HO_{2}][O_{3}] + k_{OH+O_{3}}[OH][O_{3}] + k_{O(^{1}D)+H_{2}O}[O(^{1}D)][O_{3}] + k_{OH+NO_{2}}[OH][NO_{2}] + k_{VOC+O_{3}}[VOC][O_{3}]$$
(5)

$$P_{0_3} = G_{0_3} - D_{0_3} \tag{6}$$

式中, G_{0_3} 为 O_3 生成速率, D_{0_3} 为 O_3 消耗速率, P_{0_3} 为 O_3 净生成速率. k 值为各反应的反应速率常数. 公式中各个自由基的混合比由 OBM 模型模拟得到.

1.6 经验动力学方法(EKMA)

经验 动力学方法 (empirical kinetic modeling approach, EKMA)是通过不同的前体物浓度情景对应不同 O_3 的生成浓度或者生成速率表示 O_3 与前体物非线性关系的方法. O_3 浓度或生成速率等值转折点的连接线为脊线. 脊线上方为 VOCs 控制区,即削减 VOCs 对控制 O_3 有明显的效果;脊线下方为 O_4 控制区,即削减 O_4 对控制 O_3 有明显的效果;脊线附近为协同控制区,削减 O_4 对控制 O_3 和 O_4 对控制 O_3 都具有明显的效果[O_4].

2 结果与讨论

2.1 O, 及其前体物污染特征

2021年6~8月,新乡市降雨天数占比为 27.1%,因仪器故障和维护等原因导致数据缺测或 异常的天数占比 28.3%,剔除各项数据缺测、异常 和降雨天数据后对监测数据进行分析得出,2021年 6~8月,新乡市 O, 日最大 8 h 滑动平均值和 90 百 分位浓度分别为 138.89 μg·m⁻³和 205.13 μg·m⁻³. 根据我国《环境空气质量标准》(GB 3095-2012)中 的规定,O3 日最大8h滑动平均值(MDA8)超过160 μg·m⁻³为 O, 超标日. 2021 年 6 月 O, 污染最为严 重,共有20个0,超标日,7月和8月0,污染相对 较轻,各有7个O,超标日.图1显示了监测期间O, 超标日和非超标日主要气象参数、常规污染物和挥 发性有机物浓度的日变化. 0, 呈现白天高夜间低的 日变化特征,而 O, 前体物(NO_x 和 VOCs)呈现与 O, 相反的日变化特征,这是因为白天大气中的光化学 反应不断消耗前体物,导致前体物浓度在白天较低. 表1显示了观测期间 0、超标日与非超标日的气象 参数和污染物浓度平均值.与非超标日相比,超标日 的高温(30.39℃)、低湿(49.75%)和低压(992.41 hPa)的气象条件构成了光化学反应的良好条件. O, 超标日各污染物浓度均有所上升. 相对于非超标日, O₃、NO₅、SO₅、CO 和 VOCs 的浓度在 O₅ 超标日分 别上升了 50.85%、62.13%、47.08%、4.36% 和 25.92%. 对于 VOCs 组分而言, O₃ 超标日的 OVOCs 和烷烃浓度上升幅度较大,分别为 43.15% 和 17.47%; 芳香烃浓度上升了5.85%. 与其他组分不 同的是,烯烃和炔烃在0,超标日的浓度小于非超标 日,下降比例分别为18.82%和10.00%.除此之外, 新乡市6~8月的 VOCs 最大浓度组分为 OVOCs (57.69%), 其次为烷烃(21.43%)、芳香烃 (8.61%)、烯烃(8.23%)和炔烃(4.04%).浓度前 10 的 VOCs 物种为: 乙醛、丙酮、乙烷、乙炔、丙 烷、丙烯醛、甲苯、乙烯、正丁烷和反式-2-丁烯.

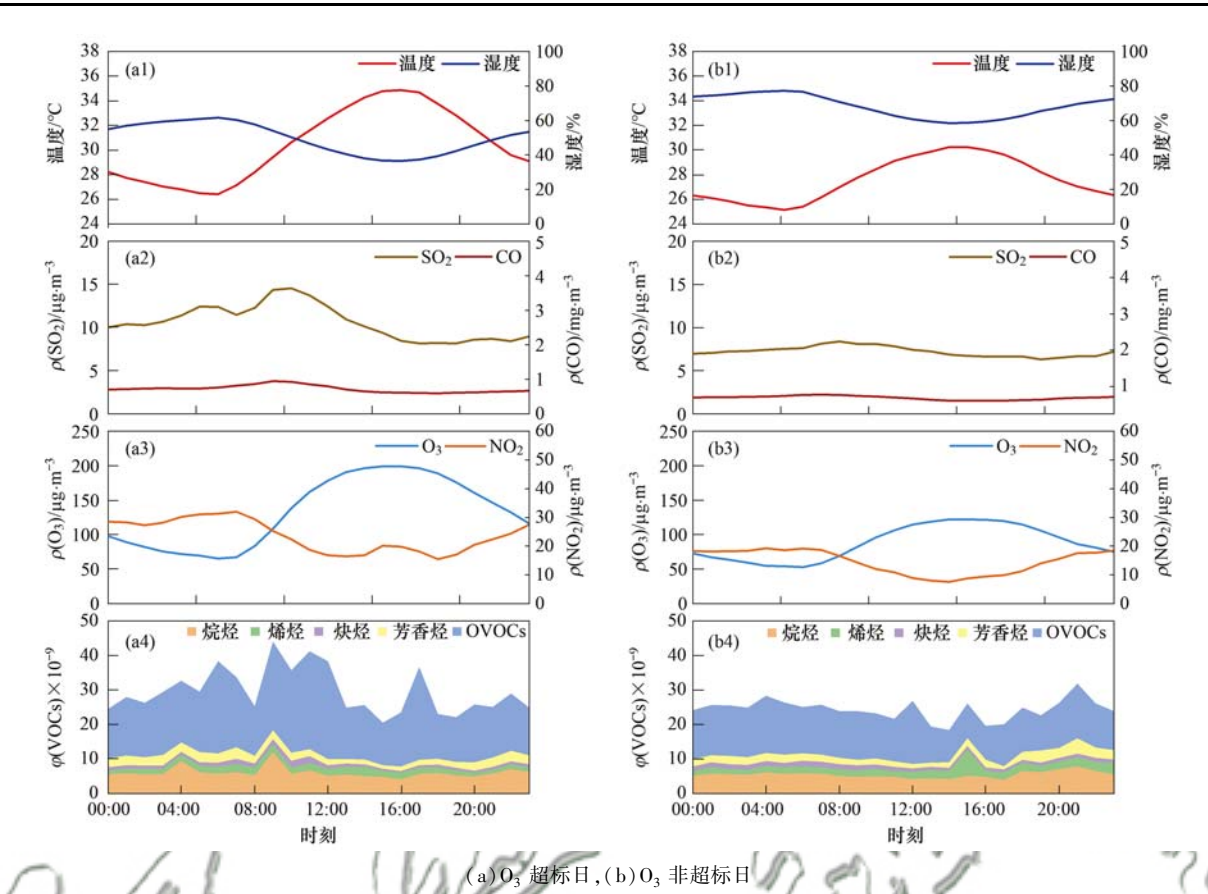


图 $f O_3$ 超标日和非超标日气象参数和污染物浓度日变化

Fig. 1 Diurnal variation in meteorological parameters and pollutant concentrations in O₃-episodes and non-O₃ episodes

表 1 观测期间气象参数和污染物浓度统计值

Table 1 Statistical values of meteorological parameters and pollutant concentrations during measurements

而且。	亚基体	+二、VB· / lò + h	超标日		非超标日	
项目	平均值	标准偏差 —	平均值	标准偏差	平均值	标准偏差
温度/℃	28.62	2.60	30.39	2.71	27.60	2.77
湿度/%	61.88	14.83	49.75	13.65	68.18	14.10
气压/hPa	994.20	4.09	992.41	3.78	995.01	4.06
$\rho(NO_2)/\mu g \cdot m^{-3}$	17.82	8.46	23.66	12.74	14.59	8.61
ho (CO)/mg·m ⁻³	0.71	0.28	0.72	0.32	0.69	0.31
$\rho(\mathrm{SO}_2)/\mu\mathrm{g}\cdot\mathrm{m}^{-3}$	8.25	3.78	10.61	4.77	7.21	3.56
$\rho(O_3)/\mu g \cdot m^{-3}$	102.32	29.27	132.91	30.11	88.11	28.13
$\varphi(\text{TVOC}) \times 10^{-9}$	27.12	16.16	31.70	19.58	25.17	14.00
φ(烷烃)×10 ⁻⁹	5.81	4.95	6.50	4.72	5.53	5.02
φ(烯烃) ×10 ⁻⁹	2.23	2.38	1.92	0.80	2.36	2.77
φ(炔烃) ×10 ⁻⁹	1.09	0.79	1.01	0.79	1.12	0.79
φ (芳香烃) ×10 $^{-9}$	2.33	3.17	2.43	2.65	2.29	3.37
$\varphi(\text{OVOC}) \times 10^{-9}$	15.65	12.55	19.84	17.19	13.86	9.38

由于不同 VOCs 物种的反应活性不同, O₃ 生成 贡献也不同. VOCs 与·OH的反应是光化学反应中的 关键步骤,·OH反应性大小决定了各 VOCs 物种参与光化学反应的程度. 因此本研究计算了不同 VOCs 组分的 OFP 和·OH反应性评估大气中的 VOCs 活性组分,结果如表 2 所示. 6~8 月新乡市 VOCs 的 OFP 主要贡献物种为 OVOCs(58. 54%), 其次为芳香烃(17. 13%)、烯烃(17. 05%)、烷烃(6. 86%)和炔烃(0. 41%). 此结果与其他城市研究结果相比有一定

差异,例如,郑州市 VOCs 对 O_3 生成贡献以芳香烃为主 $^{[21]}$. $6 \sim 8$ 月新乡市各 VOCs 组分的·OH反应性主要贡献物种为 OVOCs(56.63%)和烯烃(26.54%),其次为芳香烃(8.60%)、烷烃(8.00%)和炔烃(0.23%). 此结果与成渝地区的研究结果相似 $^{[28]}$. 相较于非超标日, O_3 超标日 VOCs的 OFP 和·OH反应性均有升高,上升幅度分别为34.23%和28.52%. VOCs 在 O_3 超标日较高的 OFP和·OH反应性为 O_3 生成提供了更多的活性基团,导

表 2 各类别 VOCs 的 OFP 和·OH反应性大小

Table 2	OFP and	· OHreactivity	of various	tymee	of VOCe
rabie 2	Orr and	• Onreactivity	or various	types	or vous

VOCs 类别	平均值		超板	超标日		非超标日	
	OFP × 10 ⁻⁹	L _{.OH} /s ⁻¹	OFP × 10 ⁻⁹	$L_{\rm \cdot OH}/{ m s}^{-1}$	OFP × 10 ⁻⁹	$L_{\rm \cdot OH}/{ m s}^{-1}$	
烷烃	9. 34	0. 78	11.68	0. 92	8. 34	0. 72	
烯烃	23. 23	2. 60	26. 94	2. 99	21. 63	2. 43	
炔烃	0. 56	0.02	0. 52	0.02	0. 58	0.02	
芳香烃	23. 33	0. 84	22. 71	0.82	23.60	0.85	
OVOCs	79. 74	5. 54	103. 95	6. 82	69. 36	4. 99	
TVOC	136. 21	9. 78	165. 80	11. 58	123. 52	9. 01	

致 O_3 本地生成增加.

2.2 相对增量反应性(RIR)分析

选取2021年6~8月0、超标日进行分析,将 O, 前体物分为 AVOC、BVOC、NO, 和 CO, 将各前 体物的浓度分别削减 10%,使用 OBM 模型模拟这 4 类前体物的 RIR 值. 图 2 显示了 6~8 月 O, 超标日 各前体物的 RIR 值. 可以看出, O, 生成敏感性在 6 ~8月发生了转变,在6月为 VOCs 控制,在7~8月 为 VOCs 和 NO, 协同控制. 除此之外, AVOC 和 NO, 的 RIR 大小也有明显的变化特征. 6~8 月, AVOC 的 RIR 值逐渐减小, 而 NO, 的 RIR 值在7月转为正 值,然后逐渐变大. 这说明在6~8月 AVOC 对 O, 生 成的影响逐渐减小,而 NO, 对 O, 生成的影响先由 负转正,之后逐渐增大.总体来看,对 0。生成起主要 作用的前体物是 AVOC 和 NOx, 其次是 BVOC 和 CO. BVOC 在 6 月 RIR 值最高,与该时段异戊二烯 浓度较高有关[29];对 CO 来说,虽然削减 CO 对控 制 O, 有利,但是由于 CO 的 RIR 值较低,对 O, 生成 影响较小,所以控制 CO 并不能有效控制 O, 污染.

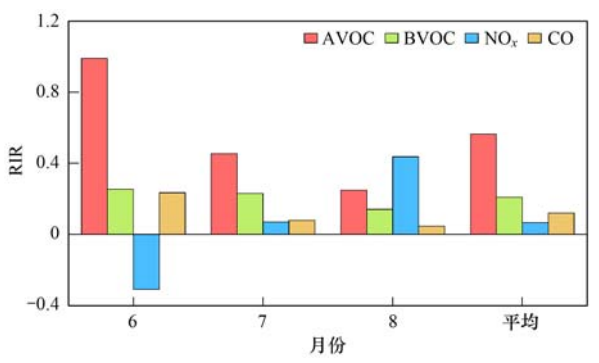


图 2 新乡市 2021 年 $6 \sim 8$ 月 O_3 超标日前体物相对增量反应性变化

Fig. 2 Variation in relative incremental reactivity of ozone precursors during ozone-episodes in Xinxiang City from June to August 2021

图3显示了6~8月新乡市O₃超标日不同VOCs组分的RIR值变化.各月份RIR值最大的VOCs组分为烯烃和OVOCs.说明削减烯烃和OVOCs对控制本地O₃生成有较大的作用.相比于其他月份,6月烯烃的RIR值较高,这是因为6月监测到的烯烃浓度较高,导致烯烃对光化学反应贡献

更大. 对比其他研究, 武汉地区的 O_3 生成为 VOCs 控制, 对 O_3 生成影响最大的物种也为烯烃^[30]; 重庆在 2015 年 8 月和 9 月的城市站点为 VOCs 控制, 郊区站点为 NO_x 控制, O_3 高值时段, 影响最大的 VOCs 物种为烯烃和芳香烃^[31], 与本文研究结果相似.

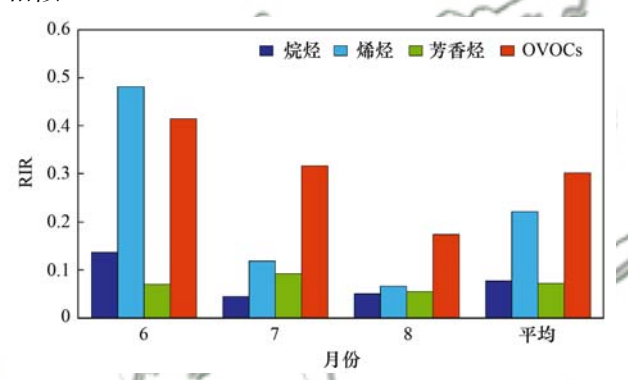
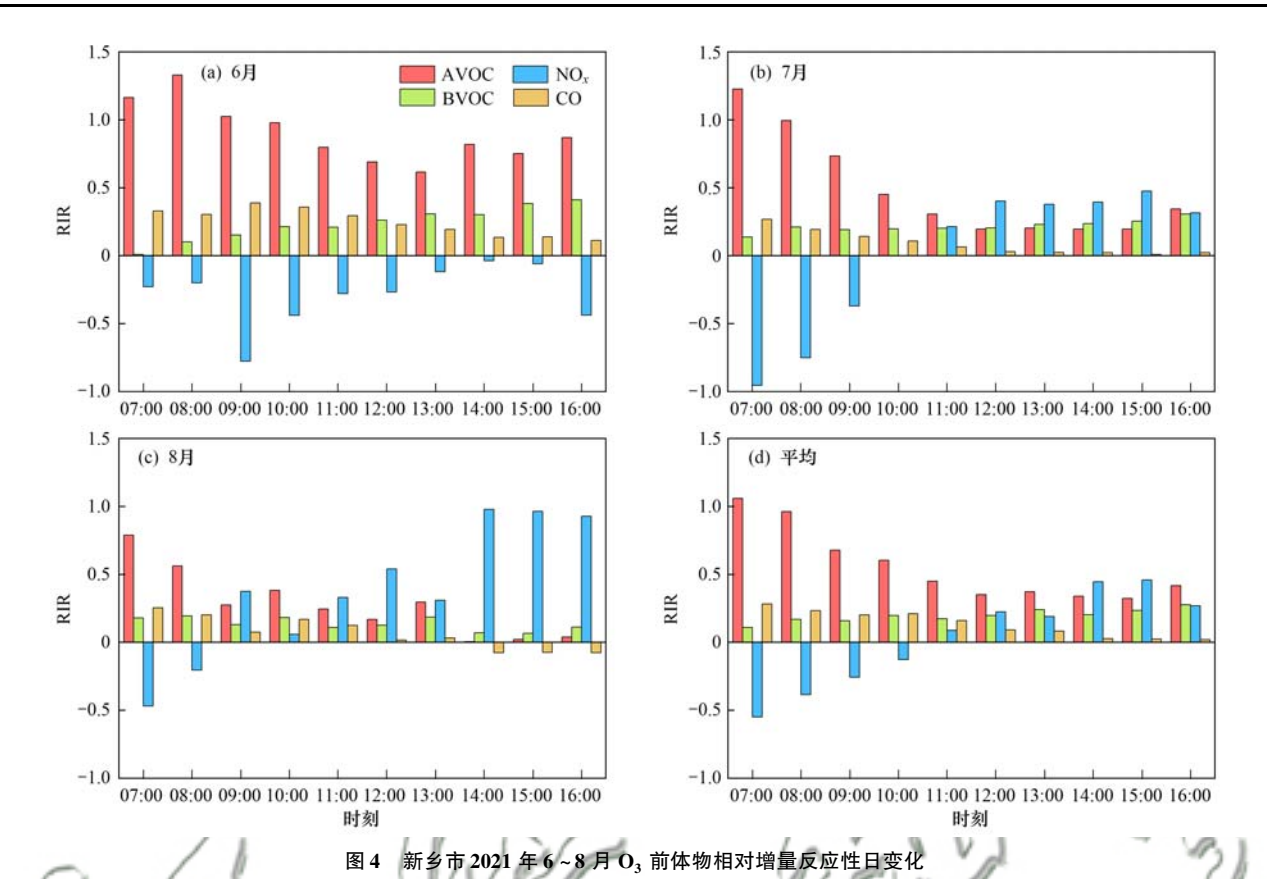


图 3 新乡市 2021 年 6~8 月 O₃ 超标日不同 VOCs 组分相对增量反应性变化

Fig. 3 Variation in relative incremental reactivity of different VOCs components during ozone-episodes in Xinxiang City from June to August 2021

图 4 显示了新乡市市委党校站点 6~8 月 0, 超 标日前体物 RIR 值的日变化. 可以看出,6 月的 O, 生成敏感性在1d中保持不变,始终为VOCs控制 区,但是不同前体物对 0,生成的影响大小会发生变 化. 从 07:00 开始, AVOC 的 RIR 值逐渐变小, BVOC 的 RIR 值逐渐变大,说明在早上控制人为源 VOCs 对控制 O, 有比较好的效果; NO, 的 RIR 值始终为 负并且在09:00 达到最大值,负值最大值的出现可 能是因为早高峰期间车辆排放过多的 NO, 导致. 7 月和8月,从07:00 开始, AVOC 的 RIR 值逐渐变 小,而 NO_x 的 RIR 值在早上为负值,在 09:00 ~ 12:00转为正值,在14:00之后,8月NO,的RIR值 远大于 VOCs 的 RIR 值. 说明在 7 月和 8 月本地 O, 生成在早上处于 VOCs 控制区,中午为协同控制区, 下午分别为协同控制区和 NO, 控制区. 以上分析说 明新乡市 O, 敏感性在 1 d 中会发生变化,甚至会从 VOCs 控制区转变为协同控制区. 虽然 AVOC 的 RIR



Daily variation in relative incremental reactivity of ozone precursors in Xinxiang City from June to August 2021

值大小会发生变化,但是始终保持正值,说明削减 AVOC 始终有助于减少 O_3 生成,而在 $7 \sim 8$ 月上午削减 NO_x 会促进 O_3 生成,下午削减 NO_x 会减小 O_3 生成.

2.3 EKMA 曲线

将新乡市市委党校站点 $6 \sim 8$ 月 O_3 超标目的监测数据输入到 OBM 模型中模拟并绘制 EKMA 曲线,模型模拟结果如图 5 所示. 从中可以看出,新乡市 O_3 生成在 6 月受 VOCs 控制,在 7 月和 8 月受 VOCs 和 NO_x 协同控制,这与上一节 RIR 值的分析结果相同.

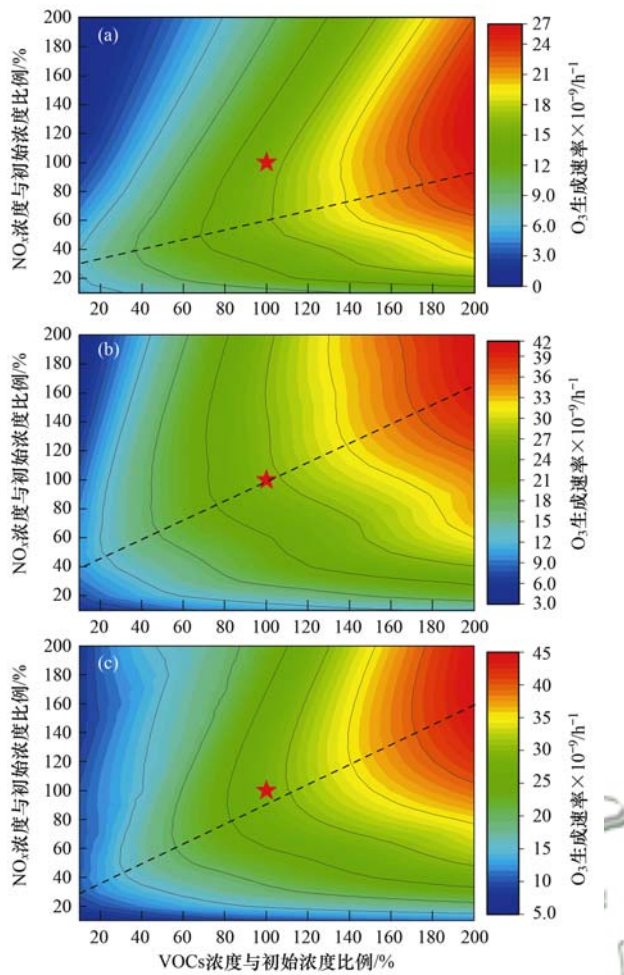
从管控策略来看,由于 6 月处于 VOCs 控制区,如果持续削减 NO_x ,本地 O_3 生成会由 VOCs 控制区转变为 NO_x 控制区, O_3 会随着 NO_x 的减少先上升后下降;若只削减 VOCs, O_3 浓度则会持续下降. O_3 浓度在短期内会先升高,这是因为该时段处于 VOCs 控制区, NO_x 的过多削减对控制 O_3 会起到反作用.若 NO_x 的削减比例等于或者小于 VOCs 削减比例, O_3 浓度会直接明显下降. 7 月和 8 月处于协同控制区,削减 NO_x 或者 VOCs 都可以减少 O_3 的生成. 虽然新乡市在不同月份的 O_3 生成敏感性不同,但是削减 VOCs 始终有利于减少 O_3 的本地生成.

2.4 前体物减排比例

新乡市 6~8 月各 O, 超标日 MDA8 平均值为

198 μg·m³, 为国家 O, 质量标准 160 μg·m³ 的 124%. 据此,本文设定了2个削减目标,即0,生成 速率削减比例分别达到25%和35%,以此来讨论可 能的前体物减排方案,并通过 OBM 模型模拟不同前 体物削减比例对 O, 生成的影响,结果如图 6 所示. 若 6 月的削减目标为 25%,削减方案有:①VOCs 削 减 30%, NO。削减 13%; ②VOCs 削减 40%, NO。削 减 35%; ③ VOCs 削减比例大于 50%; ④ NO, 削减 比例大于85%. 其中方案③和④由于削减比例较 高,不适合实际操作,而方案①是短期内控制 0, 最 具成本效益的方法. 若 6 月的削减目标定为 35%, 削 减方案有:①VOCs 削减 40%, NO, 削减 13%; ② VOCs 削减 50%, NO_x 削减 30%; ③ VOCs 削减比例 大于60%.由于7月和8月的O。敏感性与6月不 同,因此削减方案也有所不同.若在7月和8月实现 O, 生成速率削减 25%, VOCs 削减比例大于 40% 则 基本可以实现目标,如果 VOCs 削减比例为 30% 或 者以下,NO。至少需要削减40%,成本将大大增加. 若7月和8月的削减目标为35%,则 VOCs削减比 例需大于60%.

若本地 O_3 生成处于 VOCs 控制区,想要在短期内取得较高的 O_3 控制成效,应尽量对 VOCs 进行削减;若以长期控制 O_3 为目标,应对 VOCs 和 NO_x 协同削减,且 VOCs 的削减比例不能小于 NO_x ,即



(a)6月,(b)7月,(c)8月;黑色虚线为脊线,红色五角星为监测站点的原始前体物浓度,x 轴为各情景 VOCs 浓度与原始 VOCs 浓度的比例,y 轴为各情景 NO_x 浓度与原始 NO_x 浓度的比例;红色五角星表示各月的初始监测浓度,五角星若在脊线上方,说明本地 O_3 生成受 VOCs 控制,五角星若靠近脊线,说明本地 O_3 生成受 VOCs 和 NO_x 协同控制,五角星若在脊线下方,说明本地 O_3 生成受 NO_x 控制

图 5 新乡市 6~8 月 O₃ 超标日 EKMA 曲线

Fig. 5 EKMA curve of the ${\rm O_3}\text{-episodes}$ in Xinxiang City from June to August

VOCs: NO_x 削减比例应大于1:1,否则会有 O₃ 浓度升高的可能; 若本地 O₃ 生成处于协同控制区,削减 VOCs 更有利于管控 O₃,削减 NO_x 作用较小,反而会使成本大大增加. 从以上分析来看,虽然各月的 O₃ 敏感性不同,但是削减 VOCs 始终有利于管控 O₃. 由于本地 O₃ 生成的敏感性可能会因为前体物浓度的改变而改变,因此对 O₃ 的管控策略应随本地 O₃ 生成的敏感性的改变及时调整.

3 结论

(1)2021年6~8月,新乡市市委党校站点的 O₃超标日共27d.相比于非超标日,超标日呈现高 温、低压和低湿的气象特征,O₃及其前体物也都有

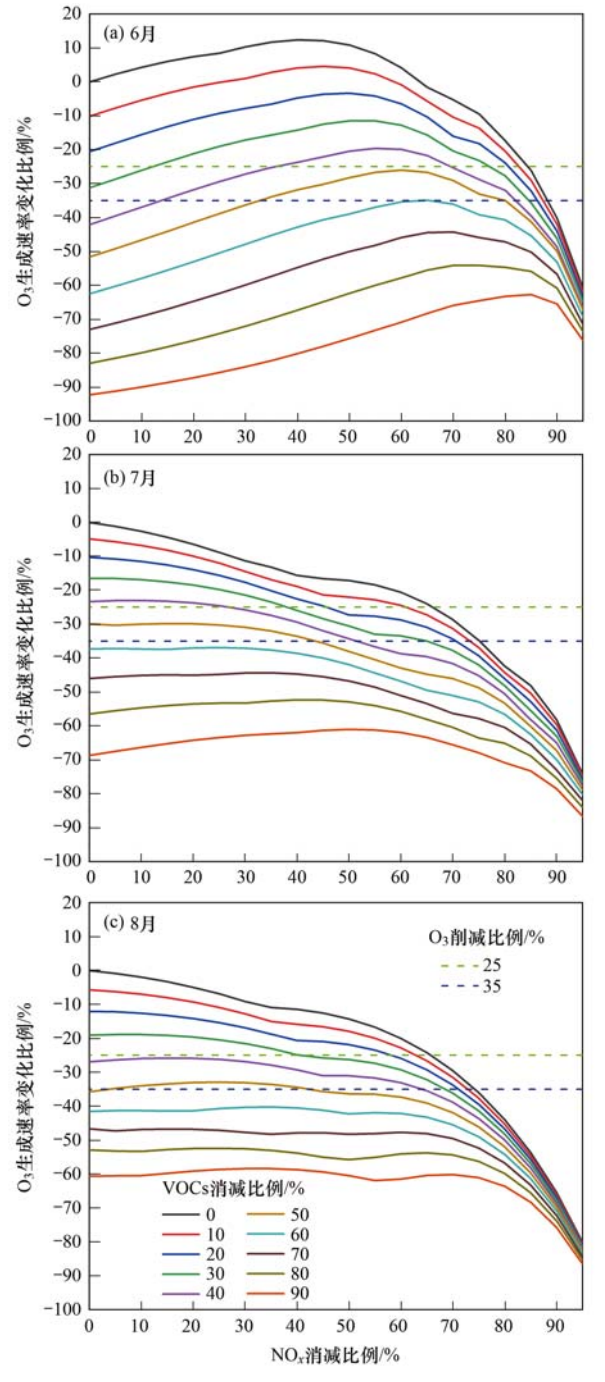


图 6 不同前体物削减比例对 O_3 生成速率的变化影响

Fig. 6 Influence of different reduction ratios on the change in the baseline ozone concentration

一定程度的升高. VOCs 浓度贡献最大的组分为 OVOCs 和烷烃, OFP 和·OH反应性贡献最大的组分 为 OVOCs.

(2)通过相对增量反应性和 EKMA 曲线分析表明,新乡市 6月 O_3 超标日的敏感性以 VOCs 控制为主,7月和8月以 VOCs和 NO_x协同控制为主. OVOCs 和烯烃是 RIR 值最大的两种 VOCs 组分. 6月各前体物的 O_3 敏感性大小在1d中会发生变化,但始终为 VOCs 控制;7月和8月的 O_3 敏感性在1d中会发生转变,上午为 VOCs 控制,中午为协同

控制,下午分别为协同控制区和 NO, 控制区.

(3)通过模拟不同前体物削减情景下的 O_3 生成速率显示,无论本地 O_3 生成处于 VOCs 控制区还是协同控制区,削减 VOCs 始终有利于管控 O_3 ,而削减 NO_x 对管控 O_3 作用不大,还有导致 O_3 升高的风险.本地对 O_3 的管控策略应随本地 O_3 生成的敏感性的改变及时调整.

参考文献:

- [1] Ding A J, Wang T, Thouret V, et al. Tropospheric ozone climatology over Beijing: analysis of aircraft data from the MOZAIC program [J]. Atmospheric Chemistry and Physics, 2008, 8(1): 1-13.
- [2] Ma Z Q, Xu J, Quan W J, et al. Significant increase of surface ozone at a rural site, north of eastern China [J]. Atmospheric Chemistry and Physics, 2016, 16(6): 3969-3977.
- [3] Xue L K, Wang T, Gao J, et al. Ground-level ozone in four Chinese cities: precursors, regional transport and heterogeneous processes [J]. Atmospheric Chemistry and Physics, 2014, 14 (23): 13175-13188.
- [4] Zong R H, Yang X, Wen L, et al. Strong ozone production at a rural site in the North China Plain: mixed effects of urban plumes and biogenic emissions [J]. Journal of Environmental Sciences, 2018, 71: 261-270.
- [5] Wang X K, Zhang Q Q, Zheng F X, et al. Effects of elevated O₅ concentration on winter wheat and rice yields in the Yangtze River Delta, China [J]. Environmental Pollution, 2012, 171; 118-125.
- [6] Feng Z Z, Sun J S, Wan W X, et al. Evidence of widespread ozone-induced visible injury on plants in Beijing, China [J]. Environmental Pollution, 2014, 193: 296-301.
- [7] Alexis N E, Carlsten C. Interplay of air pollution and asthma immunopathogenesis; a focused review of diesel exhaust and ozone[J]. International Immunopharmacology, 2014, 23(1); 347-355.
- [8] Goodman J E, Prueitt R L, Sax S N, et al. Ozone exposure and systemic biomarkers: evaluation of evidence for adverse cardiovascular health impacts [J]. Critical Reviews in Toxicology, 2015, 45(5): 412-452.
- [9] Worden H M, Bowman K W, Worden J R, et al. Satellite measurements of the clear-sky greenhouse effect from tropospheric ozone[J]. Nature Geoscience, 2008, 1(5): 305-308.
- [10] Wang T, Xue L K, Brimblecombe P, et al. Ozone pollution in China: a review of concentrations, meteorological influences, chemical precursors, and effects [J]. Science of the Total Environment, 2017, 575: 1582-1596.
- [11] Zhang Y H, Su H, Zhong L J, et al. Regional ozone pollution and observation-based approach for analyzing ozone-precursor relationship during the PRIDE-PRD2004 campaign [J]. Atmospheric Environment, 2008, 42 (25): 6203-6218.
- [12] An J L, Zou J N, Wang J X, et al. Differences in ozone photochemical characteristics between the megacity Nanjing and its suburban surroundings, Yangtze River Delta, China [J]. Environmental Science and Pollution Research, 2015, 22 (24): 19607-19617.
- [13] Mazzuca G M, Ren X R, Loughner C P, et al. Ozone production and its sensitivity to NO_x and VOCs: results from the DISCOVER-AQ field experiment, Houston 2013 [J]. Atmospheric Chemistry and Physics, 2016, 16 (22): 14463-

- 14474.
- [14] Elshorbany Y F, Kleffmann J, Kurtenbach R, et al. Summertime photochemical ozone formation in Santiago, Chile [J]. Atmospheric Environment, 2009, 43(40): 6398-6407.
- [15] Tang X, Wang Z F, Zhu J, et al. Sensitivity of ozone to precursor emissions in urban Beijing with a Monte Carlo scheme [J]. Atmospheric Environment, 2010, 44(31): 3833-3842.
- [16] Cardelino C A, Chameides W L. An observation-based model for analyzing ozone precursor relationships in the urban atmosphere
 [J]. Journal of the Air & Waste Management Association, 1995,
 45(3): 161-180.
- [17] Tang X, Zhu J, Wang Z F, et al. Improvement of ozone forecast over Beijing based on ensemble Kalman filter with simultaneous adjustment of initial conditions and emissions [J]. Atmospheric Chemistry and Physics, 2011, 11(24): 12901-12916.
- [18] Wang M, Chen W T, Zhang L, et al. Ozone pollution characteristics and sensitivity analysis using an observation-based model in Nanjing, Yangtze River Delta Region of China [J]. Journal of Environmental Sciences, 2020, 93: 13-22.
- [19] 韩丽,陈军辉,姜涛,等. 基于观测模型的成都市臭氧污染敏感性研究[J]. 环境科学学报, 2020, 40 (11): 4092-4104.
 Han L, Chen J H, Jiang T, et al. Sensitivity analysis of atmospheric ozone formation to its precursors in Chengdu with an observation based model [J]. Acta Scientiae Circumstantiae,
- [20] Liu X F, Guo H, Zeng L W, et al. Photochemical ozone pollution in five Chinese megacities in summer 2018[J]. Science of the Total Environment, 2021, 801, doi:10.1016/j. scitotenv. 2021,149603.

2020, **40**(11): 4092-4104.

- [21] Wang X D, Yin S S, Zhang R Q, et al. Assessment of summertime O_3 formation and the O_3 -NO_X-VOC sensitivity in Zhengzhou, China using an observation-based model [J]. Science of the Total Environment, 2022, **813**, doi:10.1016/j. scitotenv. 2021.152449.
- [22] 李亚松. 郑州市臭氧污染特征识别及其与前体物的敏感性研究[A]. 见:第二十五届大气污染防治技术研讨会[C]. 西安:中国环境科学学会, 2021.
- [23] Carter W P L. Development of the SAPRC- 07 chemical mechanism [J]. Atmospheric Environment, 2010, 44 (40): 5324-5335
- [24] Atkinson R, Arey J. Atmospheric degradation of volatile organic compounds[J]. Chemical Reviews, 2003, 103 (12): 4605-4638.
- [25] Wang H L, Chen C H, Wang Q, et al. Chemical loss of volatile organic compounds and its impact on the source analysis through a two-year continuous measurement [J]. Atmospheric Environment, 2013, 80: 488-498.
- [26] 李泱,常莉敏,吕沛诚,等.兰州市大气臭氧生成的敏感性分析及其前体物减排对策建议[J].环境科学学报,2021,41(5):1628-1639.
 - Li Y, Chang L M, Lü P C, *et al.* Sensitivity analysis of atmospheric ozone formation and its precursors emission reduction countermeasures in Lanzhou city [J]. Acta Scientiae Circumstantiae, 2021, 41(5): 1628-1639.
- [27] 韩萌, 卢学强, 冉靓, 等. 天津市城区夏季 VOCs 来源解析 [J]. 环境科学与技术, 2011, **34**(10): 76-80.

 Han M, Lu X Q, Ran L, *et al.* Source apportionment of volatile organic compounds in urban Tianjin in the summer [J]. Environmental Science & Technology, 2011, **34**(10): 76-80.
- [28] Li LY, Chen Y, Zeng LM, et al. Biomass burning contribution

- to ambient volatile organic compounds (VOCs) in the Chengdu-Chongqing Region (CCR), China [J]. Atmospheric Environment, 2014, **99**: 403-410.
- [29] 陆克定, 张远航, 苏杭, 等. 珠江三角洲夏季臭氧区域污染及其控制因素分析[J]. 中国科学: 化学, 2010, **40**(4): 407-420.
 - Lu K D, Zhang Y H, Su H, et al. Regional ozone pollution and key controlling factors of photochemical ozone production in Pearl River Delta during summer time [J]. Science China Chemistry,
- 2010, **53**(3): 651-663.
- [30] Hui L R, Liu X G, Tan Q W, et al. Characteristics, source apportionment and contribution of VOCs to ozone formation in Wuhan, Central China [J]. Atmospheric Environment, 2018, 192: 55-71.
- [31] Li J, Zhai C Z, Yu J Y, et al. Spatiotemporal variations of ambient volatile organic compounds and their sources in Chongqing, a mountainous megacity in China[J]. Science of the Total Environment, 2018, 627: 1442-1452.

欢迎订阅 2023 年《环境科学》

《环境科学》创刊于1976年,由中国科学院主管,中国科学院生态环境研究中心主办,是我国环境科学学科中最早创刊的学术性期刊.

《环境科学》自创刊以来,始终坚持"防治污染,改善生态,促进发展,造福人民"的宗旨,报道我国环境科学领域内具有创新性高水平,有重要意义的基础研究和应用研究成果,以及反映控制污染,清洁生产和生态环境建设等可持续发展的战略思想、理论和实用技术等.

《环境科学》在国内外公开发行,并在国内外科技界有较大影响,被国内外一些重要检索系统收录,如工程索引 Ei Compendex;医学索引 MEDLINE; Scopus; 化学文摘 CA;俄罗斯文摘杂志 AJ;美国生物学文摘预评 BP;美国医学索引 IM;日本科学技术情报中心数据库 JICST;英国动物学记录 ZR;剑桥科学文摘(CSA): Environmental Sciences;剑桥科学文摘(CSA):Pollution Abstracts;剑桥科学文摘(CAS):Life Sciences Abstracts等;国内的检索系统有中国科技论文统计与引文数据库(CSTPCD);中文科技期刊数据库(维普);中国期刊全文数据库(CNKI);数字化期刊全文数据库(万方);中国科学引文数据库(CSCD);中国生物学文摘等.

全国各地邮局均可订阅,如有漏订的读者可直接与编辑部联系,办理补订手续.

国内统一连续出版物号: CN 11-1895/X

国际标准连续出版物号: ISSN 0250-3301

国外发行代号:M 205

国内邮发代号:2-821

编辑部地址:北京市海淀区双清路 18 号(2871 信箱) 邮编:100085 电话:010-62941102; E-mail: hjkx@ rcees. ac. cn; 网址: www. hjkx. ac. cn

HUANJING KEXUE

Environmental Science (monthly)

Vol. 44 No. 5 May 15, 2023

CONTENTS

Pollution Characteristics and Factors Influencing the Reduction in Ambient PM _{2.5} in Beijing from 2018 to 2020	······· YAO Qing, YANG Xu, TANG Ying-xiao, et al. (2421)
On-line Measurement of Trace Elements in PM _{2.5} in Winter in Urban Taiyuan, China; Levels and Source Apportionment Characteristics and Source Apportionment of Black Carbon Over the Eastern Tibetan Plateau	······ CUI Yang, GUO Li-li, LI Hong-yan, et al. (2441)
Characteristics and Source Apportionment of Diack Cambon Over the Eastern Indian Flatcau Characteristics and Source Apportionment of Volatile Organic Compounds in Zhanjiang in Summer	PANC Viscodia CAO Ro CHEN Lai-man, et al. (2461)
Ozone Pollution Characteristics and Sensitivity During the Ozone Pollution Days in Summer 2021 of Xinxiang City	
Influence of Typhoon Nangka Process on Ozone Pollution in Hainan Island	FII Chuan-bo DAN Li TONC lin-be et al. (2481)
Health Impacts of Air Pollution in Tianjin	HI A Kun I II O Thong-wai II A Rin et al. (2401)
Analysis of Change and Driving Factors of River Environmental Quality in China from 2002 to 2020	VANC Chuan vi VIE Van CAO Chang et al. (2502)
Spatiotemporal Pattern and Driving Force Analysis of Ecological Environmental Quality in Typical Ecological Areas of the Yellow River	r Basin from 1990 to 2020
Response of Water Quality in Small Reservoirs to Landscape Composition, Landscape Configuration, and Reservoir Characteristics in t	the Upper Reaches of the Yangtze River During Dry Season ZHONG Yong-lin, RAN Jiao-jiao, WEN Wen, et al. (2528)
Pollution Characteristics and Risk Assessment of Typical Endocrine Disrupting Chemicals in Drains Flowing into the Yellow River of N	lingxia
Occurrence Characteristics of Microplastics and Metal Elements in the Surface Water of Huangpu River and Their Associations with Mo	etal Resistance Cenes
Spatial Distribution Characteristics and Source Analysis of Heavy Metals in Urban River Surface Sediments from the Lanzhou Reach of	the Vellow River
Distribution and Release Potential of Soil Phosphorus Fractions in Water-level Fluctuation Zone of the Tributary Bay, Three Gorges Re	
Distribution and Pollution Assessment of Nutrients in the Surface Sediments of Lake in Huoqiu County	
Analysis of Influencing Factors of Chlorophyll-a in Lake Taihu Based on Bayesian Network	······ LIU lie. HE Yun-chuan. DENG lian-ming. et al. (2592)
Hydrochemical Characteristics and Control Factors of Groundwater in Shunping County, Hebei Province	LIII Yuan-qing ZHOU Le LÜ Lin et al. (2601)
Distribution, Tansformation, and Fate of Per-and Polyfluoroalkyl Substances in Drinking Water Treatment	
Removal of Cr(VI) via a Nickel Ferrite@Activated Carbon Composite Under Batch Experiments: Study of Characterization, Performan	nce and Mechanism
Temoval of G1 (1) has a reconstructed earlier composite crucia bater Experiments; study of Guaracterization, Temorina	THANG Hua II Rong-hua CHEN lin-viong et al. (2622)
Degradation of SMX with Peracetic Acid Activated by Nano Core-shell Co@NC Catalyst	FING Ting-lu ZHANG Long-long CHEN lia-bin et al. (2022)
Adsorption Characteristics of Arsenic and Cadmium by FeMnNi-LDH Composite Modified by Fulvic Acid and Its Mechanisms	
Adsorption Unaracteristics of Alsenic and Cadmium by Feminy-Libri Composite Mounted by Furvic Acid and its mechanisms Adsorption Mechanism for Phosphate in Aqueous Solutions of Calcium/Aluminum-rich Sludge Biochar Composite	OUVANC 7by CAO I., WANC Ping sign at al. (2661)
Adsorption Mechanism for Phosphate in Aqueous Solutions of Carcillor Adminism-rich Studge Biochar Composite Studge Biochar Modified by B-doped and Its Adsorption Behavior and Mechanism of 1,2-DCA in Water	
Response of Forest Ecosystems to Decreasing Atmospheric Nitrogen Deposition	VIE Donni VANC Dong ring DUAN Loi (2011)
Impacts of Climate Change and Human Activities on Vegetation Restoration in Typical Grasslands of China	ZHANG I: VIE V: ZHOU D (2001)
Spatial-temporal Variation in Net Primary Productivity in Terrestrial Vegetation Ecosystems and Its Driving Forces in Southwest China	XU Yong, HUANG Hai-yan, DAI Qiang-yu, et al. (2704)
Effects of Different Carbon Inputs on Soil Stoichiometry in Tianshan Mountains	MA Xin-yu, GONG Lu, ZHU Hai-qiang, et al. (2/15)
Effects of Nitrogen and Phosphorus Addition on Soil Nutrient Content and Stoichiometry in Desert Grassland	LIU Shu-xuan, AN Hui, ZHANG Xin-wen, et al. (2724)
Effect of Spartina alterniflora Invasion on Soil C: N: P Stoichiometry in Coastal Wetland of Hangzhou Bay	
Effects of 24 Years Different Straw Return on Soil Carbon, Nitrogen, Phosphorus, and Extracellular Enzymatic Stoichiometry in Dryland Carbon, Nitrogen, Phosphorus, and Extracellular Enzymatic Stoichiometry in Dryland Carbon, Nitrogen, Phosphorus, and Extracellular Enzymatic Stoichiometry in Dryland Carbon, Nitrogen, Phosphorus, and Extracellular Enzymatic Stoichiometry in Dryland Carbon, Nitrogen, Phosphorus, and Extracellular Enzymatic Stoichiometry in Dryland Carbon, Nitrogen, Phosphorus, and Extracellular Enzymatic Stoichiometry in Dryland Carbon, Nitrogen, Phosphorus, and Extracellular Enzymatic Stoichiometry in Dryland Carbon, Nitrogen, Phosphorus, and Extracellular Enzymatic Stoichiometry in Dryland Carbon, Nitrogen, Phosphorus, and Extracellular Enzymatic Stoichiometry in Dryland Carbon, Nitrogen, Phosphorus, Phosph	nd of the Loess Plateau, China
2 Teach 2 Teach and the Control of Control o	
Carbon Sequestration Characteristics Under Natural Vegetation Restoration in Ziwuling Area of the Loess Plateau	
Effects of Short-term Nitrogen Addition on Soil Organic Carbon Components in Robinia pseudoacacia L. Plantation	
Response of Soil Organic Carbon Accumulation in Paddy Fields in Fujian Province to Future Temperature Increases	CHE Yan, QIU Long-xia, WU Ling-yun, et al. (27/5)
Species, Habitat Characteristics, and Screening Suggestions of Cadmium Hyperaccumulators in China	
Research Progress on Spatial Differentiation and Influencing Factors of Soil Heavy Metals Based on Geographical Detector	
Geochemical Background and Baseline Value of Soil Chemical Elements in Hebei Province	
Distribution Characteristics, Ecological Risks, and Source Identification of Heavy Metals in Cultivated Land Under Non-grain Production	
Source Analysis and Ecological Risk Assessment of Heavy Metals in the Arable Soil at the Geological High Background, Based on the	Township Scale · · · · · · · · · · · · · · · · · · ·
Solid-solution Partitioning Coefficients and Environmental Risk of Cd and Pb in Soil in Chang-Zhu-Tan Area	
Ecological Risk and Migration Patterns of Heavy Metals in Soil and Crops in the Lead-Zinc Mining Area in Guizhou, China	MA Hong-hong, ZHANG Li, GUO Fei, et al. (2856)
Mercury Pollution in Dryland Soil and Evaluation of Maize Safety Production in Guizhou Province	MA Li-jun, ZHOU Lang, SONG Bo, et al. (2868)
Pollution Characteristics and Risk Assessment of PAHs in the Soil of Wild Forsythia Suspensa in Shanxi	
Effects of P on the Uptake and Transport of Cd and As in Wheat Seedlings	······ WANG Yun, ZHAO Peng, LI Guang-xin, et al. (2889)
Effects of Silicon Application on Arsenic Sequestration in Iron Plaque and Arsenic Translocation in Rice	LI Lin-feng, WEN Wei-fa, XU Zi-sheng, et al. (2899)
Characteristics of Soil Microbial Community in Different Habitats in the Process of Ecological Restoration of Haifeng Wetland in Guang	gdong
Taxonomic and Functional Diversity of Soil Microbial Communities in Subalpine Meadow with Different Degradation Degrees in Mount	Wutai ·····
Effects of the Transformation from Natural Alpine Grassland to Mixed Artificial Grassland on the Characteristics of Soil Microbial Communication of the Characteristics	
Effects of Chinese Milk Vetch Returning Incorporated with Chemical Fertilizer Reduction on the Composition and Function of Soil Bact	
ZI	HANC light IIII Chungang THENC Chungang et al. (2036)
Effects of Long-term Sod Cultivation on Chinese Hickory Plantation Soil Fungal Community and Enzyme Activities	
Effects of Microplastic High-density Polyethylene on Cotton Growth, Occurrence of Fusarium wilt, and Rhizosphere Soil Bacterial Con	
Effects of Microplastic High-density Polyethylene on Cotton Growth, Occurrence of Fusarium will, and Knizosphere Soil Bacterial Con	THANC Hoo SUN Ito VANC United at al. (2055)
Nitrogen Metabolism and Flora Characteristics of Bacteria Algae Complex System	ZHANG Hao, SUN Jie, TANG Hul-ying, et al. (2905)
Analysis of Carbon Emissions and Influencing Factors in China Based on City Scale	
How Do Carbon Trading Policies Affect Industrial Carbon Productivity: Quasi-natural Experiments from Chinese Provincial Data	
Influence of the Classification of Municipal Solid Wastes on the Reduction of Greenhouse Gas Emissions: A Case Study of Qingdao Cit	IY, UNINA
Quantitative Analysis of Spatio-temporal Evolution Characteristics of Seasonal Average Maximum Temperature and Its Influence by Atm	•